

# Scrypt 양자회로 구현

<https://youtu.be/C4ZOht2HEzI>

정보컴퓨터공학과 송경주

# Script

- 2009년 Colin Percival이 제안한 비밀번호 기반 키 파생 함수
- 계산이 집약적이고 메모리를 많이 사용하도록 설계되어 하드웨어 공격, 특히 ASIC(Application-Specific Integrated Circuit) 및 GPU를 사용하는 공격에 강함
- 따라서 Script는 비밀번호 해싱 및 암호화폐와 같은 매우 안전한 애플리케이션에 이상적

# Script

- **PBKDF2<sub>SHA256</sub>**

- 128  $rp$  바이트 문자열 생성
- 생성된 문자열은  $p$ 개의 동일한 길이의 블록으로 나뉘지고 각각에 대해 SMix 함수 호출
- SMix 함수의 결과는 최종 PBKDF2<sub>SHA256</sub> 호출에서 salt로 사용됨 (해당 과정에서 original password와 new salt 를 사용하여 최종  $dk$  Len 바이트 output key 생성

- **SMix**

- script 알고리즘의 핵심이며 script의 메모리 하드 구성 요소를 구성함
- script RFC [1]에서는 블록 크기 매개변수를  $r = 8$ 로 권장
- Smix에 대한 초기 입력 블록의 크기가 1kB이므로 캐시에 쉽게 들어갈 수 있음
- SMix 기능은 이 1kB 블록을  $N$  블록 배열로 확장하고 이전에 액세스한 블록의 내용을 기반으로 의사 난수 순서로 블록을 반복적으로 액세스
- 따라서  $N$ 이 크면 SMix 함수는 script 실행에 적지 않은 비용을 차지

## Algorithm 1 script algorithm

```

1: function SCRIPT( $P, S, p, N, r, dkLen$ )
2:   ( $B_0 || B_1 || \dots || B_{p-1}$ )  $\leftarrow$  PBKDF2SHA256( $P, S, 1, 128rp$ )
3:   for  $i = 0$  to  $p - 1$  do
4:      $B_i \leftarrow$  SMix $r$ ( $B_i, N$ )
     return PBKDF2SHA256( $P, B_0 || B_1 || \dots || B_{p-1}, 1, dkLen$ )
5: function SMix $r$ ( $B, N$ )
6:    $X \leftarrow B$ 
7:   for  $i = 0$  to  $N - 1$  do
8:      $V_i \leftarrow X$ 
9:      $X \leftarrow$  BLOCKMIXSalsa20/8,  $r$ ( $X$ )
10:  for  $i = 0$  to  $N - 1$  do
11:     $j \leftarrow$  INTEGERIFY( $X$ ) mod  $N$ 
12:     $X \leftarrow$  BLOCKMIXSalsa20/8,  $r$ ( $X \oplus V_j$ )
    return  $X$ 
13: function BLOCKMIXSalsa20/8,  $r$ ( $B_0 || B_1 || \dots || B_{2r-1}$ )
14:   $\triangleright$  each  $B_i$  must be 64-bytes (enforced by Salsa20/8 definition)
15:   $X \leftarrow B_{2r-1}$ 
16:  for  $i = 0$  to  $2r - 1$  do
17:     $X \leftarrow$  SALSA20/8( $X \oplus B_i$ )
18:     $Y_i \leftarrow X$ 
    return  $Y_0 || Y_2 || \dots || Y_{2r-2} || Y_1 || Y_3 || \dots || Y_{2r-1}$ 

```

Parameter	Meaning
$p$	<ul style="list-style-type: none"> <li>• script에서 SMix가 호출되는 횟수 결정(line 3-4)</li> <li>• SMix 호출은 서로 독립적(병렬)으므로 해당 파라미터가 결국 병렬화 매개변수</li> </ul>
$N$	<ul style="list-style-type: none"> <li>• SMix 함수에 전달되는 cost 매개변수</li> <li>• SMix 함수가 <math>N</math>개의 서로 다른 BlockMix 해시를 계산, 저장 및 의사 무작위로 액세스하도록 요구하여 script의 CPU 및 메모리 사용량을 제어(line 5~12)</li> </ul>
$r$	<ul style="list-style-type: none"> <li>• <math>r</math>은 BlockMix 함수가 작동하는 블록의 크기를 결정하는 블록 크기 매개변수 (line 13-14)</li> </ul>

# Script quantum circuit

- **Inverse operation을 통한 ancilla 큐비트 재사용**

- Clean ancilla 큐비트를 연산에서 사용한 후, dirty ancilla를 inverse 연산으로 다시 clean 상태로 만들고 반복적으로 사용
- **SHA256**: 사용한 dirty ancilla를 역연산을 통해 clean 상태로 리셋하여 모든 loop에서 재사용, 해당 방법으로 SHA-256 in **PBKDF2**<sub>SHA256</sub> 에서 큐비트 수를 8128개 줄이고 depth 약간 증가(depth 약 6)
- **Salsa**: Salsa 내부 연산 'Operation on columns' 및 'Operate on rows'에서 중간 값을 ancilla 에 저장하지 않고 입력을 직접 업데이트 시킴
  - ex)  $c = a \oplus b$  (out-of-place)  $\rightarrow b = a \oplus b$  (in-place)
- 이후 후속연산에서 업데이트 된 큐비트의 업데이트 전 값이 필요할 때, 업데이트된 값을 사용을 마친 후 inverse 연산을 적용하여 업데이트 전 값을 복원해서 사용

# Script quantum circuit

- **SHA-256 및 Salsa20/8의 병렬구조**

- 양자회로 depth를 줄이기 위해 내부 연산들을 가능한한 병렬로 설계
- SHA-256에서 inverse를 통한 ancilla 0 reset → inverse 연산을 후속 연산들과 병렬로 설계
- 마찬가지로 Salsa 20/8 함수 내에서도 업데이트된 큐비트를 업데이트 전 상태로 복원하는 inverse 연산과 후속연산을 일부 병렬로 처리함
- 따라서 큐비트를 줄이기 위해 inverse 연산이 추가되었지만 full depth에는 큰 영향을 주지 않음

# SHA-256 in $PBKDF2_{SHA256}$

- SHA-256 내부동작은: Ch, Maj, SIR, ROT, S0, S1, s0, s1로 구성됨
- Inverse 연산을 병렬로 설계하여 약간의 depth 증가로 큐비트를 크게 줄임
- S0, S1, Maj  $\rightarrow$  RND function
- s1, s0  $\rightarrow$  MSCH function
- SHR  $\rightarrow$  s1, s0 에서 사용
- ROTR  $\rightarrow$  S0, S1, s0, s1 에서 사용

## Algorithm 3 S1 quantum circuit in SHA-256

Input:  $x, h, S1_{anc}$

```

1:  $\diamond$ Point 1: Start inverse operation
2: for ( $i=0$  to 32) :
3:    $S1_{anc}[i] \leftarrow CNOT(x[(i+6)\%32], S1_{anc}[i])$ 
4:    $S1_{anc}[i] \leftarrow CNOT(x[(i+11)\%32], S1_{anc}[i])$ 
5:    $S1_{anc}[i] \leftarrow CNOT(x[(i+25)\%32], S1_{anc}[i])$ 
6:  $\diamond$ Point 2: End inverse operation
7:  $h \leftarrow Add(S1_{anc}, h)$ 

8: // Reset  $S1_{anc}$  to clean  $|0\rangle$ 
9:  $\diamond$ Start inverse operation from Point 1 to Point 2.
```

```

Ch(x, y, z) = ((x & (y ^ z)) ^ z)
Maj(x, y, z) = ((x & (y | z)) | (y & z))
SHR(x, n) = (x >> n)
ROTR(x, n) = ((x >> n) | (x << (32 - n)))
S0(x) = (ROTR(x, 2) ^ ROTR(x, 13) ^ ROTR(x, 22))
S1(x) = (ROTR(x, 6) ^ ROTR(x, 11) ^ ROTR(x, 25))
s0(x) = (ROTR(x, 7) ^ ROTR(x, 18) ^ SHR(x, 3))
s1(x) = (ROTR(x, 17) ^ ROTR(x, 19) ^ SHR(x, 10))
```

## Algorithm 2 S0 quantum circuit in SHA-256

Input:  $x, h, S0_{anc}$

```

1:  $\diamond$ Point 1: Start inverse operation
2: for ( $i=0$  to 32) :
3:    $S0_{anc}[i] \leftarrow CNOT(x[(i+2)\%32], S0_{anc}[i])$ 
4:    $S0_{anc}[i] \leftarrow CNOT(x[(i+13)\%32], S0_{anc}[i])$ 
5:    $S0_{anc}[i] \leftarrow CNOT(x[(i+22)\%32], S0_{anc}[i])$ 
6:  $\diamond$ Point 2: End inverse operation

7:  $h \leftarrow Add(S0_{anc}, h)$ 
8:  $\diamond$ Start inverse operation from Point 1 to Point 2.
```

## Algorithm 4 Maj quantum circuit in SHA-256

Input:  $x, h, Maj_{anc1}, Maj_{anc2}, Maj_{anc3}$

```

1: for ( $i=0$  to 32) :
2:    $Maj_{anc1}[i] \leftarrow Toffoli(y[i], z[i], Maj_{anc1}[i])$ 

3: //OR-gate operation
4: for ( $i=0$  to 32) :
5:    $y[i] \leftarrow X(y[i])$ 
6:    $z[i] \leftarrow X(z[i])$ 
7:    $Maj_{anc2}[i] \leftarrow Toffoli(y[i], z[i], Maj_{anc2}[i])$ 
8:    $y[i] \leftarrow X(y[i])$ 
9:    $z[i] \leftarrow X(z[i])$ 
10:   $Maj_{anc2}[i] \leftarrow X(Maj_{anc2}[i])$ 

11: for ( $i=0$  to 32) :
12:   $Maj_{anc3}[i] \leftarrow Toffoli(x[i], Maj_{anc2}[i], Maj_{anc3}[i])$ 

13: //OR-gate operation (Reset  $Maj_{anc2}$ )
14: for ( $i=0$  to 32) :
15:   $y[i] \leftarrow X(y[i])$ 
16:   $z[i] \leftarrow X(z[i])$ 
17:   $Maj_{anc2}[i] \leftarrow Toffoli(y[i], z[i], Maj_{anc2}[i])$ 
18:   $y[i] \leftarrow X(y[i])$ 
19:   $z[i] \leftarrow X(z[i])$ 
20:   $Maj_{anc2}[i] \leftarrow X(Maj_{anc2}[i])$ 

21: //OR-gate operation.
22: for ( $i=0$  to 32) :
23:   $Maj_{anc1}[i] \leftarrow X(Maj_{anc1}[i])$ 
24:   $Maj_{anc3}[i] \leftarrow X(z[i])$ 
25:   $Maj_{anc2}[i] \leftarrow Toffoli(Maj_{anc1}[i], Maj_{anc3}[i], Maj_{anc2}[i])$ 
26:   $Maj_{anc1}[i] \leftarrow X(Maj_{anc1}[i])$ 
27:   $Maj_{anc3}[i] \leftarrow X(Maj_{anc3}[i])$ 
28:   $Maj_{anc2}[i] \leftarrow X(Maj_{anc2}[i])$ 

29:  $h \leftarrow Add(Maj_{anc2}, h)$ 

30: for ( $i=0$  to 32) :
31:   $Maj_{anc3}[i] \leftarrow Toffoli(y[i], z[i], Maj_{anc3}[i])$  //Reset  $Maj_{anc3}$ 
32:   $Maj_{anc1}[i] \leftarrow Toffoli(y[i], z[i], Maj_{anc1}[i])$  //Reset  $Maj_{anc1}$ 
```

# SHA-256 in $PBKDF2_{SHA256}$

- SHA-256 내부동작은: Ch, Maj, SIR, ROT, S0, S1, s0, s1로 구성됨
- Inverse 연산을 병렬로 설계하여 약간의 depth 증가로 큐비트를 크게 줄임
- **S0, S1, Maj → RND function**
- s1, s0 → MSCH function
- SHR → s1, s0 에서 사용
- ROTR → S0, S1, s0, s1 에서 사용

## Algorithm 3 S1 quantum circuit in SHA-256

Input:  $x, h, S1_{anc}$

- 1:  $\diamond$ Point 1: Start inverse operation
- 2: for ( $i=0$  to 32) :
- 3:  $S1_{anc}[i] \leftarrow CNOT(x[(i+6)\%32], S1_{anc}[i])$
- 4:  $S1_{anc}[i] \leftarrow CNOT(x[(i+11)\%32], S1_{anc}[i])$
- 5:  $S1_{anc}[i] \leftarrow CNOT(x[(i+25)\%32], S1_{anc}[i])$
- 6:  $\diamond$ Point 2: End inverse operation
- 7:  $h \leftarrow Add(S1_{anc}, h)$
- 8: // Reset  $S1_{anc}$  to clean  $|0\rangle$
- 9:  $\diamond$ Start inverse operation from Point 1 to Point 2.

$Ch(x, y, z) = ((x \& (y \wedge z)) \wedge z)$   
 $Maj(x, y, z) = ((x \& (y \mid z)) \mid (y \& z))$   
 $SHR(x, n) = (x \gg n)$   
 $ROTR(x, n) = ((x \gg n) \mid (x \ll (32 - n)))$   
 $S0(x) = (ROTR(x, 2) \wedge ROTR(x, 13) \wedge ROTR(x, 22))$   
 $S1(x) = (ROTR(x, 6) \wedge ROTR(x, 11) \wedge ROTR(x, 25))$   
 $s0(x) = (ROTR(x, 7) \wedge ROTR(x, 18) \wedge SHR(x, 3))$   
 $s1(x) = (ROTR(x, 17) \wedge ROTR(x, 19) \wedge SHR(x, 10))$

## Algorithm 2 S0 quantum circuit in SHA-256

Input:  $x, h, S0_{anc}$

- 1:  $\diamond$ Point 1: Start inverse operation
- 2: for ( $i=0$  to 32) :
- 3:  $S0_{anc}[i] \leftarrow CNOT(x[(i+2)\%32], S0_{anc}[i])$
- 4:  $S0_{anc}[i] \leftarrow CNOT(x[(i+13)\%32], S0_{anc}[i])$
- 5:  $S0_{anc}[i] \leftarrow CNOT(x[(i+22)\%32], S0_{anc}[i])$
- 6:  $\diamond$ Point 2: End inverse operation
- 7:  $h \leftarrow Add(S0_{anc}, h)$
- 8:  $\diamond$ Start inverse operation from Point 1 to Point 2.

## Algorithm 4 Maj quantum circuit in SHA-256

Input:  $x, h, Maj_{anc1}, Maj_{anc2}, Maj_{anc3}$

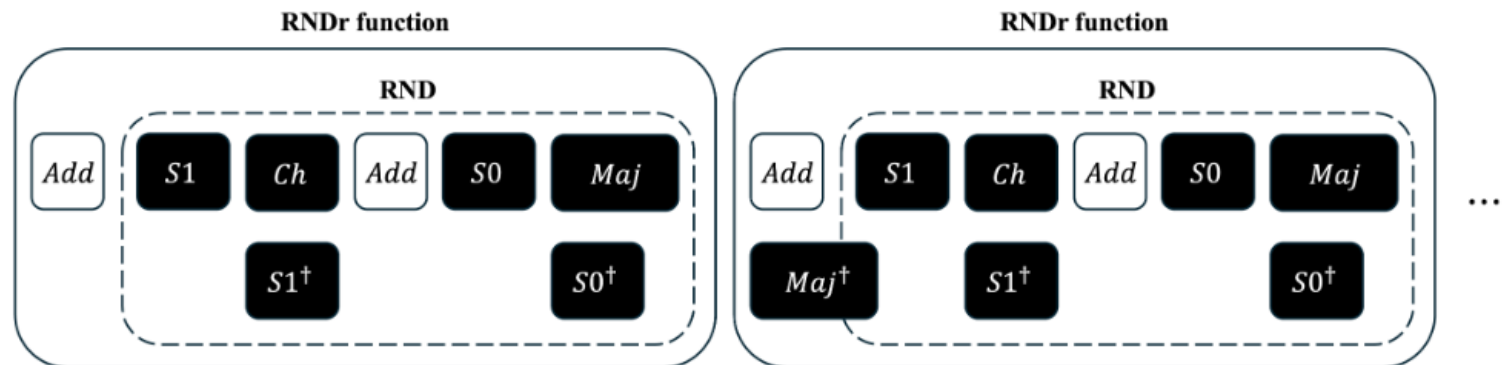
- 1: for ( $i=0$  to 32) :
- 2:  $Maj_{anc1}[i] \leftarrow Toffoli(y[i], z[i], Maj_{anc1}[i])$
- 3: //OR-gate operation
- 4: for ( $i=0$  to 32) :
- 5:  $y[i] \leftarrow X(y[i])$
- 6:  $z[i] \leftarrow X(z[i])$
- 7:  $Maj_{anc2}[i] \leftarrow Toffoli(y[i], z[i], Maj_{anc2}[i])$
- 8:  $y[i] \leftarrow X(y[i])$
- 9:  $z[i] \leftarrow X(z[i])$
- 10:  $Maj_{anc2}[i] \leftarrow X(Maj_{anc2}[i])$
- 11: for ( $i=0$  to 32) :
- 12:  $Maj_{anc3}[i] \leftarrow Toffoli(x[i], Maj_{anc2}[i], Maj_{anc3}[i])$
- 13: //OR-gate operation (Reset  $Maj_{anc2}$ )
- 14: for ( $i=0$  to 32) :
- 15:  $y[i] \leftarrow X(y[i])$
- 16:  $z[i] \leftarrow X(z[i])$
- 17:  $Maj_{anc2}[i] \leftarrow Toffoli(y[i], z[i], Maj_{anc2}[i])$
- 18:  $y[i] \leftarrow X(y[i])$
- 19:  $z[i] \leftarrow X(z[i])$
- 20:  $Maj_{anc2}[i] \leftarrow X(Maj_{anc2}[i])$
- 21: //OR-gate operation.
- 22: for ( $i=0$  to 32) :
- 23:  $Maj_{anc1}[i] \leftarrow X(Maj_{anc1}[i])$
- 24:  $Maj_{anc3}[i] \leftarrow X(z[i])$
- 25:  $Maj_{anc2}[i] \leftarrow Toffoli(Maj_{anc1}[i], Maj_{anc3}[i], Maj_{anc2}[i])$
- 26:  $Maj_{anc1}[i] \leftarrow X(Maj_{anc1}[i])$
- 27:  $Maj_{anc3}[i] \leftarrow X(Maj_{anc3}[i])$
- 28:  $Maj_{anc2}[i] \leftarrow X(Maj_{anc2}[i])$
- 29:  $h \leftarrow Add(Maj_{anc2}, h)$
- 30: for ( $i=0$  to 32) :
- 31:  $Maj_{anc3}[i] \leftarrow Toffoli(y[i], z[i], Maj_{anc3}[i])$  //Reset  $Maj_{anc3}$
- 32:  $Maj_{anc1}[i] \leftarrow Toffoli(y[i], z[i], Maj_{anc1}[i])$  //Reset  $Maj_{anc1}$

# SHA-256 in $PBKDF2_{SHA256}$

- RND 함수 동작에서  $S1^+$ ,  $S0^+$ ,  $Maj^+$  연산이 후속연산( $Ch, Maj, Add + S1$ )과 병렬로 동작하도록 하여 양자회로 Full-depth를 줄임
- 해당 방법을 통해 SHA-256 1번 동작 기준 depth 6 증가로 8,128개의 큐비트를 줄임
- $S0, S1$  에서 ROTR은 n-bit right rotation을 수행하는데, 비트단위 연산을 수행하는 양자컴퓨터에서 control 큐비트의 index 조정으로 이를 생략함

```
def RND(eng, a, b, c, d, e, f, g, h, k):  
    RND_carry = eng.allocate_qubit()  
  
    S1(eng, e, h)  
  
    Ch(eng, e, f, g, h)  
  
    CDKM(eng, k, h, RND_carry, len(h))  
    CDKM(eng, h, d, RND_carry, len(d))  
    S0(eng, a, h)  
    Maj(eng, a, b, c, h)
```

```
Ch(x, y, z) = ((x & (y ^ z)) ^ z)  
Maj(x, y, z) = ((x & (y | z)) | (y & z))  
SHR(x, n) = (x >> n)  
ROTR(x, n) = ((x >> n) | (x << (32 - n)))  
S0(x) = (ROTR(x, 2) ^ ROTR(x, 13) ^ ROTR(x, 22))  
S1(x) = (ROTR(x, 6) ^ ROTR(x, 11) ^ ROTR(x, 25))
```





# SHA-256 in $PBKDF2_{SHA256}$

- SHA-256 내부동작은: Ch, Maj, SIR, ROT, S0, S1, s0, s1로 구성됨
- Inverse 연산을 병렬로 설계하여 약간의 depth 증가로 큐비트를 크게 줄임
- S0, S1, Maj  $\rightarrow$  RND function
- **s1, s0  $\rightarrow$  MSCH function**
- SHR  $\rightarrow$  s1, s0 에서 사용
- ROTR  $\rightarrow$  S0, S1, s0, s1 에서 사용

**Algorithm 3** S1 quantum circuit in SHA-256

**Input:**  $x, h, S1_{anc}$

```

1:  $\diamond$ Point 1: Start inverse operation
2: for (i=0 to 32) :
3:    $S1_{anc}[i] \leftarrow CNOT(x[(i+6)\%32], S1_{anc}[i])$ 
4:    $S1_{anc}[i] \leftarrow CNOT(x[(i+11)\%32], S1_{anc}[i])$ 
5:    $S1_{anc}[i] \leftarrow CNOT(x[(i+25)\%32], S1_{anc}[i])$ 
6:  $\diamond$ Point 2: End inverse operation
7:  $h \leftarrow Add(S1_{anc}, h)$ 

8: // Reset  $S1_{anc}$  to clean  $|0\rangle$ 
9:  $\diamond$ Start inverse operation from Point 1 to Point 2.
```

```

Ch(x, y, z) = ((x & (y ^ z)) ^ z)
Maj(x, y, z) = ((x & (y | z)) | (y & z))
SHR(x, n) = (x >> n)
ROTR(x, n) = ((x >> n) | (x << (32 - n)))
S0(x) = (ROTR(x, 2) ^ ROTR(x, 13) ^ ROTR(x, 22))
S1(x) = (ROTR(x, 6) ^ ROTR(x, 11) ^ ROTR(x, 25))
s0(x) = (ROTR(x, 7) ^ ROTR(x, 18) ^ SHR(x, 3))
s1(x) = (ROTR(x, 17) ^ ROTR(x, 19) ^ SHR(x, 10))
```

**Algorithm 2** S0 quantum circuit in SHA-256

**Input:**  $x, h, S0_{anc}$

```

1:  $\diamond$ Point 1: Start inverse operation
2: for (i=0 to 32) :
3:    $S0_{anc}[i] \leftarrow CNOT(x[(i+2)\%32], S0_{anc}[i])$ 
4:    $S0_{anc}[i] \leftarrow CNOT(x[(i+13)\%32], S0_{anc}[i])$ 
5:    $S0_{anc}[i] \leftarrow CNOT(x[(i+22)\%32], S0_{anc}[i])$ 
6:  $\diamond$ Point 2: End inverse operation

7:  $h \leftarrow Add(S0_{anc}, h)$ 
8:  $\diamond$ Start inverse operation from Point 1 to Point 2.
```

**Algorithm 4** Maj quantum circuit in SHA-256

**Input:**  $x, h, Maj_{anc1}, Maj_{anc2}, Maj_{anc3}$

```

1: for (i=0 to 32) :
2:    $Maj_{anc1}[i] \leftarrow Toffoli(y[i], z[i], Maj_{anc1}[i])$ 

3: //OR-gate operation
4: for (i=0 to 32) :
5:    $y[i] \leftarrow X(y[i])$ 
6:    $z[i] \leftarrow X(z[i])$ 
7:    $Maj_{anc2}[i] \leftarrow Toffoli(y[i], z[i], Maj_{anc2}[i])$ 
8:    $y[i] \leftarrow X(y[i])$ 
9:    $z[i] \leftarrow X(z[i])$ 
10:   $Maj_{anc2}[i] \leftarrow X(Maj_{anc2}[i])$ 

11: for (i=0 to 32) :
12:   $Maj_{anc3}[i] \leftarrow Toffoli(x[i], Maj_{anc2}[i], Maj_{anc3}[i])$ 

13: //OR-gate operation (Reset  $Maj_{anc2}$ )
14: for (i=0 to 32) :
15:   $y[i] \leftarrow X(y[i])$ 
16:   $z[i] \leftarrow X(z[i])$ 
17:   $Maj_{anc2}[i] \leftarrow Toffoli(y[i], z[i], Maj_{anc2}[i])$ 
18:   $y[i] \leftarrow X(y[i])$ 
19:   $z[i] \leftarrow X(z[i])$ 
20:   $Maj_{anc2}[i] \leftarrow X(Maj_{anc2}[i])$ 

21: //OR-gate operation.
22: for (i=0 to 32) :
23:   $Maj_{anc1}[i] \leftarrow X(Maj_{anc1}[i])$ 
24:   $Maj_{anc3}[i] \leftarrow X(z[i])$ 
25:   $Maj_{anc2}[i] \leftarrow Toffoli(Maj_{anc1}[i], Maj_{anc3}[i], Maj_{anc2}[i])$ 
26:   $Maj_{anc1}[i] \leftarrow X(Maj_{anc1}[i])$ 
27:   $Maj_{anc3}[i] \leftarrow X(Maj_{anc3}[i])$ 
28:   $Maj_{anc2}[i] \leftarrow X(Maj_{anc2}[i])$ 

29:  $h \leftarrow Add(Maj_{anc2}, h)$ 

30: for (i=0 to 32) :
31:   $Maj_{anc3}[i] \leftarrow Toffoli(y[i], z[i], Maj_{anc3}[i])$  //Reset  $Maj_{anc3}$ 
32:   $Maj_{anc1}[i] \leftarrow Toffoli(y[i], z[i], Maj_{anc1}[i])$  //Reset  $Maj_{anc1}$ 
```

# SHA-256 in $PBKDF2_{SHA256}$

- $s_0, s_1$ 에서 사용되는 SHR은  $n$ -bit right shift를 수행
  - $n$ 크기만큼 0으로 채워지므로 해당  $n$ 크기 부분은 CNOT이 동작하지 않음
  - 결과적으로  $n$ 크기만큼 CNOT을 적용하지 않도록 하여 shift연산 생략
- 알고리즘의 5, 6 line 4의 loop 문의 반복 수를  $32-n$  ( $n=3, 10$ )로 설정하여 CNOT 동작을  $n$ 크기만큼 제외
- m-XOR[1] 방식을 통해  $CNOT_2(ROTR(x, 17), ROTR(x, 18), ancilla)$ 의 결과를 이후 사용되지 않는  $h$ 에 대해  $CNOT(ROTR(x, 17), h), CNOT(ROTR(x, 19), h)$ 로 변경

---

**Algorithm 5**  $s_0$  quantum circuit in SHA-256

---

Input:  $x, h$

```
1: for (i=0 to 32) :  
2:    $h[i] \leftarrow CNOT(x[(i+7)\%32], h[i])$   
3:    $h[i] \leftarrow CNOT(x[(i+18)\%32], h[i])$   
4: for (i=0 to 32 - 3) :  
5:    $h[i] \leftarrow CNOT(x[i+3], h[i])$ 
```

6: //  $h$  update

---

---

**Algorithm 6**  $s_1$  quantum circuit in SHA-256

---

Input:  $x, h$

```
1: for (i=0 to 32) :  
2:    $h[i] \leftarrow CNOT(x[(i+17)\%32], h[i])$   
3:    $h[i] \leftarrow CNOT(x[(i+19)\%32], h[i])$   
4: for (i=0 to 32 - 10) :  
5:    $h[i] \leftarrow CNOT(x[i+10], h[i])$ 
```

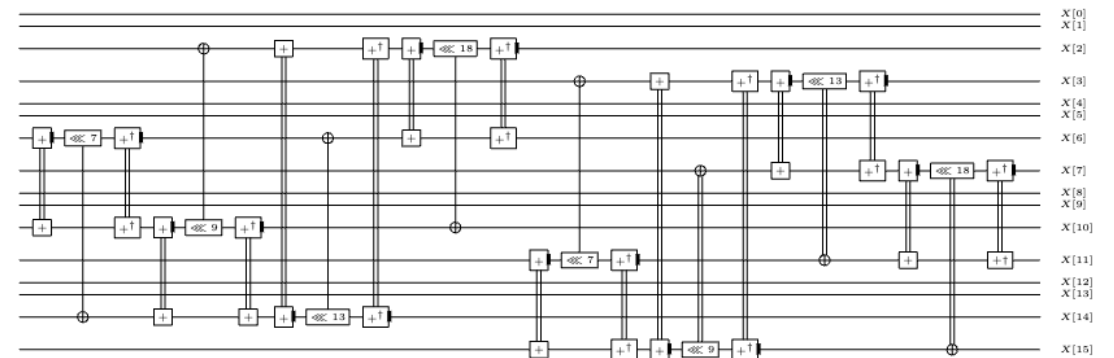
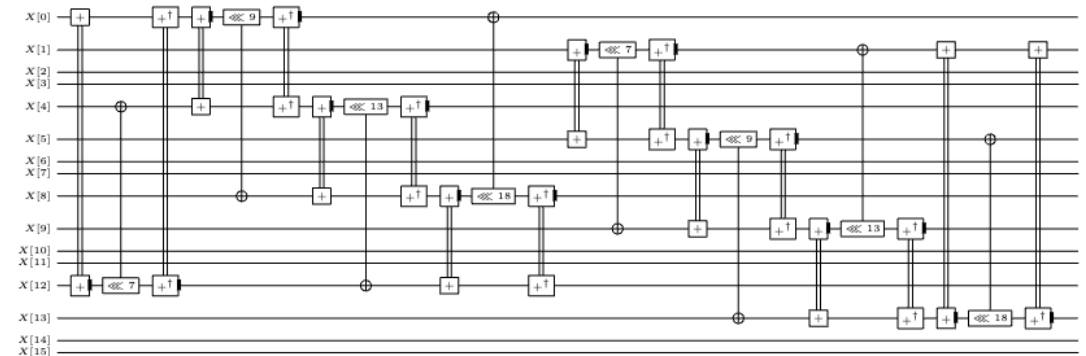
6: //  $h$  update

---

# Salsa20/8 in SMIX

- Salsa20/8 는 8라운드 버전의 Salsa20
- CNOT 연산할 때, mixing-XOR이 사용됨
- Salsa 내부 연산 'Operation on columns' 및 'Operate on rows'에서 중간 값을 ancilla에 저장하지 않고 입력을 직접 업데이트 시킴

- Add는 두 큐비트의 in-place 덧셈,  
 $Add^\dagger$  는 inverse  $Add$  수행
- X는 16x32 array 큐비트를 나타냄
- $\lll n$  : n만큼 왼쪽으로 이동 후 XOR
- $\ggg n$  : n만큼 오른쪽으로 이동 후 XOR



Operation on columns in Salsa20/8

# Evaluation

## Quantum resource in Scrypt

Qubit	Qubit	Toffoli	CNOT	X	Full depth
SHA-256 Transform	17100	58448	137888	63231	19088
Salsa20/8	1040	4880	13776	4924	1969

\*Loop가 굉장히 많음..

Q & A